

COMITATO NAZIONALE PER L'ENERGIA NUCLEARE
Laboratori Nazionali di Frascati

LNF - 67/61
31 Ottobre 1967

P. Spillantini e V. Valente : ANALISI STATISTICA DEI DATI
NELLA MISURA DELLA ASIMMETRIA NELLA FOTOPRO-
DUZIONE DI PIONI DA GAMMA POLARIZZATI. -

(Nota interna : n. 379)

Nota interna: n. 379
31 Ottobre 1967

P. Spillantini e V. Valente: ANALISI STATISTICA DEI DATI NELLA MISURA DELLA ASIMMETRIA NELLA FOTOPRODUZIONE DI PIO NI DA GAMMA POLARIZZATI. -

INTRODUZIONE. -

Nell'esperimento di misura dell'asimmetria nella fotoproduzione singola di π^+ da γ linearmente polarizzati⁽¹⁾ sono stati raccolti complessivamente più di $10^6 \pi^+$ distribuiti in 7 angoli nel c. m. ed a 14 energie del γ .

Le misure erano particolarmente delicate perché il loro risultato si esprime essenzialmente come differenza tra due numeri di conteggi diversi tra loro solo di qualche per cento.

E' stato pertanto necessario affrontare l'analisi statistica dei dati raccolti con criteri oggettivi e rigidi. Tutti i dati sono stati analizzati ed elaborati complessivamente con un solo programma di calcolo, cui nel seguito si farà riferimento con la sigla GED^(x), che esegue anche le verifiche più significative sui risultati ottenuti. L'utilità di organizzare in modo generale e completo il lavoro di analisi statistica deriva, oltre che dalla necessità di analizzare la consistenza delle nostre misure, dalla opportunità di trasmettere criteri e, "subroutines" utilizzabili per trattare i dati di analoghi esperimenti di misura di asimmetria.

Alla descrizione delle operazioni eseguite dal programma GED premettiamo una breve descrizione della logica della misura (s I) e dell'apparato sperimentale (s II)^(o); successivamente (s III) si espongono i criteri usati per fare il controllo di stabilità dei contatori in

(x) - GED (General Elaboration Data) è un programma in linguaggio FORTRAN IV scritto per l'elaboratore 7040 IBM.

(o) - Dettagli al riguardo si trovano in (1).

2.

ogni blocco di misura e durante l'esperienza, ed i criteri in base ai quali si sono accettati i risultati. In particolare richiamiamo l'attenzione del lettore sui seguenti punti di più generale interesse: l'andamento dei vari contributi all'errore sulla asimmetria (Appendice A), il modo di correggere i conteggi ottenuti in base agli spettri misurati (§ I e tabella I), il criterio adottato per lo scarto delle singole misure (§ III - B) il criterio della probabilità della "skewness" adottato in aggiunta all'usuale criterio della probabilità di χ^2 (§ III - C e appendice D) e l'analisi di consistenza statistica sui risultati (§ III - F).

TABELLA I

Correzione di $N_\gamma(E_\gamma)$ - (Correzione di spettro)

Turni del 1.6.66			$\theta_{CM} = 90^\circ$ E_γ centrale = 390 MeV							
Energia centrale della banda (MeV)			436	423	410	397	383	370	358	346
MISURE 1 + 10	Pos. C ₁ Spettro 1 $E_{picco} = 464.5$	$N_\gamma(E_\gamma)$ (unità arbitraria)	2.07	1.99	1.91	1.82	1.72	1.63	1.56	1.51
	Polarizzazione calcolata	.388 .312 .284 .255 .226 .198 .172 .145								
MISURE 53 + 60	Pos. C _{II} Spettro 2 $E_{picco} = 462.5$	$N_\gamma(E_\gamma)$ (unità arbitraria)	2.07	1.98	1.89	1.80	1.69	1.61	1.57	1.54
	Polarizzazione calcolata	.353 .317 .288 .259 .230 .202 .176 .149								
Fattore di correzione α per C _{II} ($\alpha = \frac{(N_\gamma)_II}{(N_\gamma)_I}$)			1.000	1.015	1.005	1.010	1.015	1.010	1.990	0.980
Polarizzazione media			.370	.314	.286	.257	.228	.200	.174	.147

I. - CALCOLO DELL'ASIMMETRIA PARTENDO DAL NUMERO DI PIONI RACCOLTI. -

Come è noto⁽¹⁾ le misure con γ linearmente polarizzati si possono esprimere mediante l'asimmetria A, definita come:

$$A(\theta, E_\gamma) = \frac{\sigma_\perp(\theta, E_\gamma) - \sigma_\parallel(\theta, E_\gamma)}{\sigma_\perp(\theta, E_\gamma) + \sigma_\parallel(\theta, E_\gamma)}$$

σ_\perp (σ_\parallel) sono le sezioni d'urto differenziali di fotoproduzione singola da γ con vettore elettrico perpendicolare (parallelo) al piano di produzione del piona, cioè con polarizzazione, P, uguale a +1 (-1) (P è definita da $P = (N_\perp - N_\parallel)/(N_\perp + N_\parallel)$, con N_\perp e N_\parallel numero di γ con vettore elettrico rispettivamente perpendicolare e parallelo al piano di produzione del piona).

Il fascio γ usato per l'esperimento è quello coerente da monocristallo di diamante, già descritto altrove^(1,2). L'andamento della sua intensità con l'energia del γ , $I(E_\gamma)$ (comunemente detta "spettro" del fascio: vedi Fig. 1) dipende dalla orientazione degli assi cristallografici rispetto alla direzione del fascio di elettroni incidente.

La riproducibilità degli spettri per uno stesso posizionamento del cristallo è di qualche % a tutte le energie. Ciò fa sì che a parità di

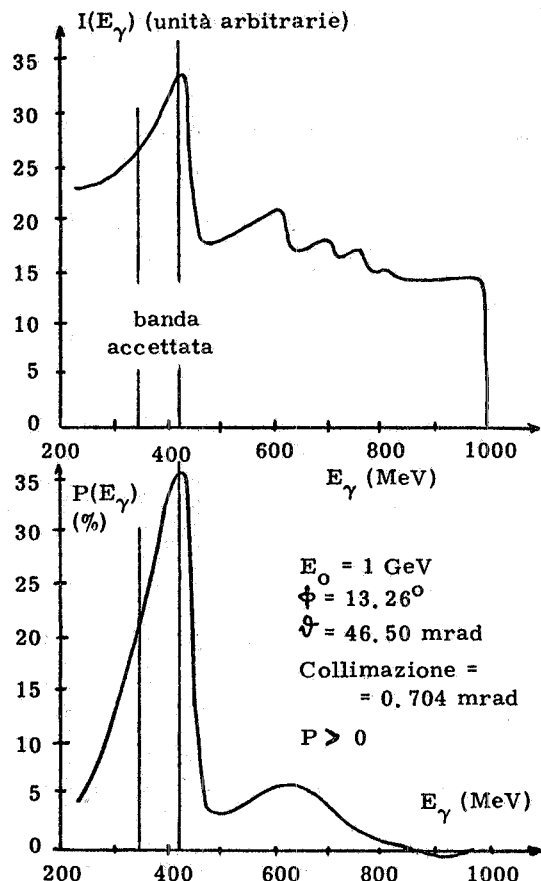


FIG. 1

B_{\perp} (e $B_{||}$) è il numero di pioni per dose prodotti da processi diversi dalla fotoproduzione singola e costituisce il "fondo della misura". Tale fondo è costituito quasi esclusivamente da pioni prodotti nei processi di fotoproduzione multipla: quindi, poiché nella regione che contribuisce alla fotoproduzione multipla (vedi Fig. 1) è $P(E_{\gamma}) \approx 0(x)$ è $B_{\perp} = B_{||} = B$. Si ha perciò

$$(2) \quad A \approx \frac{1}{P} \frac{C_{\perp} - C_{||}}{C_{\perp} + C_{||} - 2B}$$

Detti ΔP , ΔC_{\perp} , $\Delta C_{||}$, ΔB gli errori su P , C_{\perp} , $C_{||}$, e B si ha (vedi Appendice A):

$$(3) \quad \Delta A = \sqrt{\left(\frac{2}{P} \frac{C_{\perp} - \frac{B}{C_{||}} - B}{\left(\frac{C_{\perp} - B}{C_{||} - B} + 1 \right)^2} \right)^2 \left[\left(\frac{\Delta C_{\perp}}{C_{\perp} - B} \right)^2 + \left(\frac{\Delta C_{||}}{C_{||} - B} \right)^2 + \right. \right.} \\ \left. \left. + \left(\frac{\frac{C_{\perp} - C_{||}}{B}}{\frac{C_{\perp} - C_{||}}{C_{\perp} + C_{||}} - \frac{C_{\perp} + C_{||}}{B} + 1} - \frac{\Delta B}{B} \right)^2 \right] + A^2 \left(\frac{\Delta P}{P} \right)^2}$$

(x) - Fin quando ci si limiti a misure con $E_{\gamma} \leq 500$ MeV.

dose raccolta (integrale di $I(E_{\gamma})$) il numero di fotoni nella banda accettata dal dispositivo sperimentale possa di volta in volta variare di tale percentuale; i numeri dei pioni raccolti vanno dunque corretti per tali variazioni. A tale scopo, scelto uno degli spettri come riferimento, si rapportano, zona per zona, ad esso tutti gli altri. Un esempio di questo modo di procedere per un caso particolare è in Tabella I.

Indicando con C_{\perp} e $C_{||}$ i numeri di pioni raccolti per le due orientazioni del cristallo, cioè $P < 0$ e $P > 0$, rispettivamente corretti per le variazioni nello spettro γ , si ottiene la simmetria nella fotoproduzione singola di pioni dalla formula (1):

$$(1) \quad A = \frac{1}{P} \frac{(C_{\perp} - B_{\perp}) - (C_{||} - B_{||})}{(C_{\perp} - B_{\perp}) + (C_{||} - B_{||})}$$

4.

II. - MÉTODO DI RACCOLTA DEI DATI. - PRESELEZIONE DELLE MISURE. -

Prima di procedere oltre premettiamo alcune informazioni sul dispositivo sperimentale e sul metodo di raccolta dei dati.

Il dispositivo sperimentale consiste di un magnete deflettore a focalizzazione forte e di un odoscopio di contatori, ed è stato già descritto in dettaglio⁽¹⁾; qui è sufficiente accennare all'odoscopio di contatori che permette di dividere l'accettanza totale in momento in 8 canali di momento contigui.

L'odoscopio consiste di quattro contatori: S₃₅, S₃₆, S₃₇, S₃₈; La somma geometrica di S₃₅ e S₃₆ (S₃ = S₃₅ + S₃₆) definisce l'accettanza in momento del dispositivo; le combinazioni logiche di S₃₆, S₃₇, S₃₈ individuano invece gli otto canali in cui tale accettanza è divisa. La Fig. 2 mostra come tale suddivisione è realizzata.

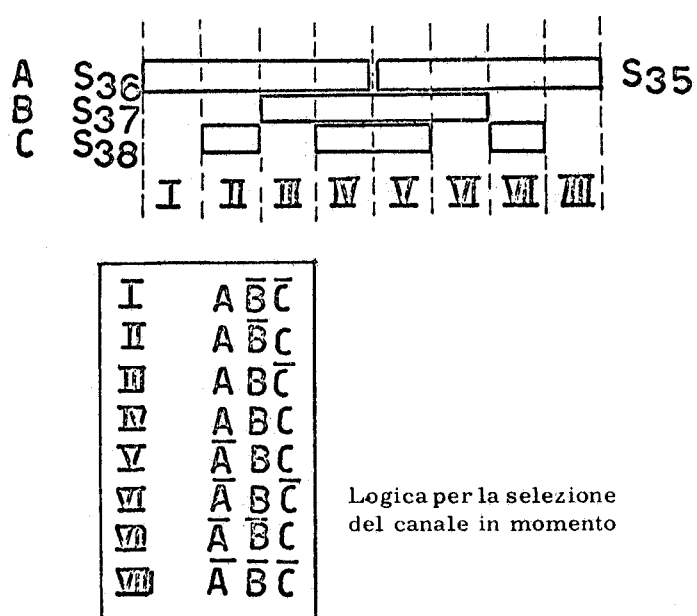


FIG. 2 - Odoscopio per la canalizzazione in momento.

che, con lo stesso segno di P e durante lo stesso gruppo di turni macchina consecutivi.

c) Un punto sperimentale è ricavato dai due blocchi di misure per $P > 0$ e $P < 0$ fatti nelle stesse condizioni cinematiche e durante lo stesso gruppo di turni macchina.

Dal nostro esperimento si sono accettate^(x) per l'analisi stati-

Il contenuto di ciascun canale è presentato su scale; una ulteriore scala dà il numero totale dei pioni raccolti (QC). Per chiarezza ci rifaremo nel seguito alle definizioni seguenti:

a) Una misura consiste nella registrazione del numero di dosi di fascio e dei contenuti delle scale per QC e per gli otto canali I, II, III... VIII.

b) Un blocco di misure consiste di tutte le misure direttamente confrontabili (anche se non consecutive), cioè fatte nelle stesse condizioni cinematiche.

(x) - Sono state scartate le misure per le quali la somma dei conteggi negli otto canali di momento era diversa dal conteggio nella scala QC, e quelle per le quali c'erano incertezze nella conoscenza del relativo spettro $I(E_\gamma)$.

stica 853 misure su 37 punti sperimentali, per un totale di $9 \cdot 10^5$ pioni. Ciascuna di esse, dopo essere stata corretta per i fattori α di correzione di spettro (vedi tab.I) è riportata su scheda perforata con tutte le indicazioni che servono ad identificarla (numero d'ordine, segno di P, E_γ , θ_{CM} , data). Utilizzando tali schede il programma GED fa una analisi di consistenza delle misure per ciascun blocco (§ III - B e C), e dà (sotto forma di tabelle e grafici) i risultati relativi alla consistenza delle misure ed alla stabilità dei contatori sull'esperimento (§ III - D), calcola le asimmetrie A (§ III - E) e stampa infine le tabelle ed i grafici dei risultati, facendo anche su di essi la analisi di consistenza (§ III - F).

A) - Raggruppamento dei canali di momento. -

La suddivisione negli otto canali di momento I, ..., VIII è sovrabbondante per i nostri scopi: quindi GED somma il contenuto dei canali a due a due ottenendo una suddivisione dei conteggi in quattro canali che indicheremo simbolicamente $1 = I + II$, $2 = III + IV$, $3 = V + VI$, $4 = VII + VIII$ (i numeri romani si riferiscono alla canalizzazione di partenza).

Il programma memorizza per le successive elaborazioni il contenuto dei canali 1, 2, 3, 4 ed VIII, e dei contatori, (ancora simbolicamente) $S_{36} = 1 + 2$, $S_{35} = 3 + 4$, $S_{37} = 2 + 3$.

B) - Criteri adottati per scartare singole misure. -

GED calcola le medie con i rispettivi errori per S_{35} , S_{36} e VIII canale, e gli scarti (in numero di "standard deviations") delle singole misure rispetto a queste medie. Quindi calcola uno scarto limite (vedi Appendice B) tale che la sua probabilità integrale sia $P(\xi_L) = K/N$, dove N = numero di misure, e $K = 0,15$ (si impone in tal modo un taglio abbastanza severo sulle misure da accettare; infatti ξ_L viene così a variare fra 2 e 3). GED accetta per l'elaborazione successiva solo quelle misure i cui scarti nello VIII canale non superano ξ_L (vedi in Fig. 3 la distribuzione degli scarti nel canale VIII per tutta l'esperienza e nota (x)).

Con lo stesso taglio ξ_L vengono scartate le misure in S_{35} e S_{36} (indipendentemente nell'uno e nell'altro), mentre in S_{37} (data la sua posizione geometrica) vengono eliminate sia le misure scartate in S_{35} che in S_{36} . Vengono infine ricalcolate tutte le medie.

(x) = Si noti che il raggruppamento fatto fa sì che le ulteriori analisi prescindono dal comportamento del contatore S_{38} ; solo il canale VIII è riportato separatamente, in quanto una qualunque anomalia nel dispositivo (calo di efficienza di un contatore, perdite elettroniche nella catena di elaborazione, anormale affollamento di un contatore, ecc.) si ripercuote in un andamento anomalo dei conteggi in tale canale, caratterizzato logicamente da solo anticorrelazioni.

6.

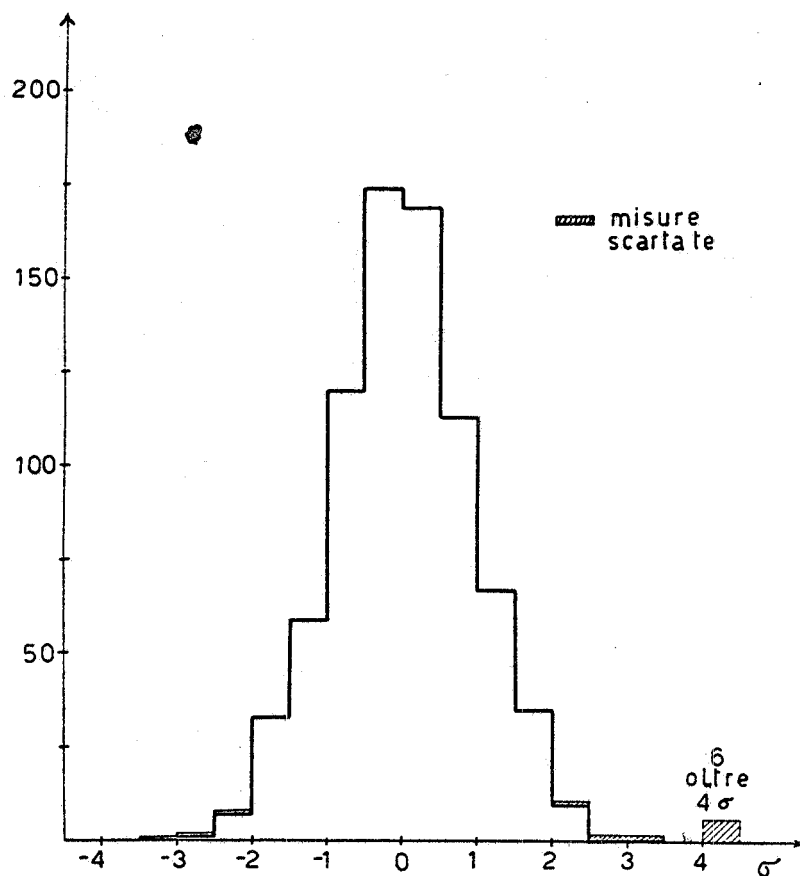


FIG. 3 - Istogramma scarti sul canale VIII rispetto alle medie parziali.

C) - Criteri adottati per scartare blocchi di misure. -

Per ciascun blocco di misure si calcolano e si memorizzano le seguenti quantità:

- 1) Il numero (NSC) di misure scartate, il numero (N) di misure accettate ed il loro rapporto (PSC = NSC/N);
- 2) Il valore della funzione χ^2 per la distribuzione delle misure e la sua probabilità integrale $P(\chi^2)$ (per il significato e le formule vedi Appendice C);
- 3) Il valore della skewness α e la sua probabilità integrale $P(\alpha)$ (vedi Appendice D);
- 4) Il numero (NU) di pioni utilizzati.

Il blocco di misure è accettato per il calcolo della asimmetria se le quantità calcolate in 1), 2), 3) soddisfano le seguenti richieste:

- a) $NSC \leq KN$ (con $K = 0.15$), tranne il caso in cui sia $NSC = 1$ (cioè si accetta sempre uno scarto per blocco di misure);
- b) $P(\chi^2) > K/N$ (in pratica $> 0.02 \div 0.03$) con $K = 0.15$ coerentemente a quanto già fatto per le singole misure;
- c) $P(\alpha) > K/N$ (ancora $K = 0.15$).

D) - Stabilità delle misure: tabelle e grafici riassuntivi.

I risultati dell'esame statistico fatto in C) sono sommati su:

- 1) tutti i blocchi di misure corrispondenti ad uno stesso segno della polarizzazione P del fascio γ , su ciascun gruppo di turni macchina;
- 2) tutti i blocchi di misure con lo stesso segno della polarizzazione P su tutta l'esperienza;
- 3) ogni gruppo di turni macchina e tutta l'esperienza, sommando anche sul segno della polarizzazione P;

e sono presentati per mezzo di

- il grafico degli scarti e il numero totale di misure scartate in S₃₅, S₃₆, S₃₇ per ciascun gruppo di turni macchina (vedi Appendice E e Fig. 4);
- l'istogramma del numero di misure in funzione dello scarto per S₃₅, S₃₆, S₃₇ per ciascun gruppo di turni macchina (vedi Appendice E e Fig. 5);
- l'istogramma analogo (vedi Fig. 6) e l'istogramma dei valori ottenuti per la "skewness" α (vedi Fig. 7 e Appendice D) per S₃₅, S₃₆, S₃₇ relativi a tutto l'esperimento;
- la tabella delle quantità N, NSC, χ^2 , α , NU sommate su tutto l'esperimento (vedi tabella II).

Tale presentazione serve per controllare se tutte le quantità calcolate seguono, entro i limiti di confidenza imposti, l'andamento pre visto dalla statistica(*) .

E) - Calcolo delle asimmetrie A. -

Per ogni situazione cinematica il programma calcola l'energia centrale di ciascuno dei canali di momento 1, 2, 3, 4, e la loro risoluzione.

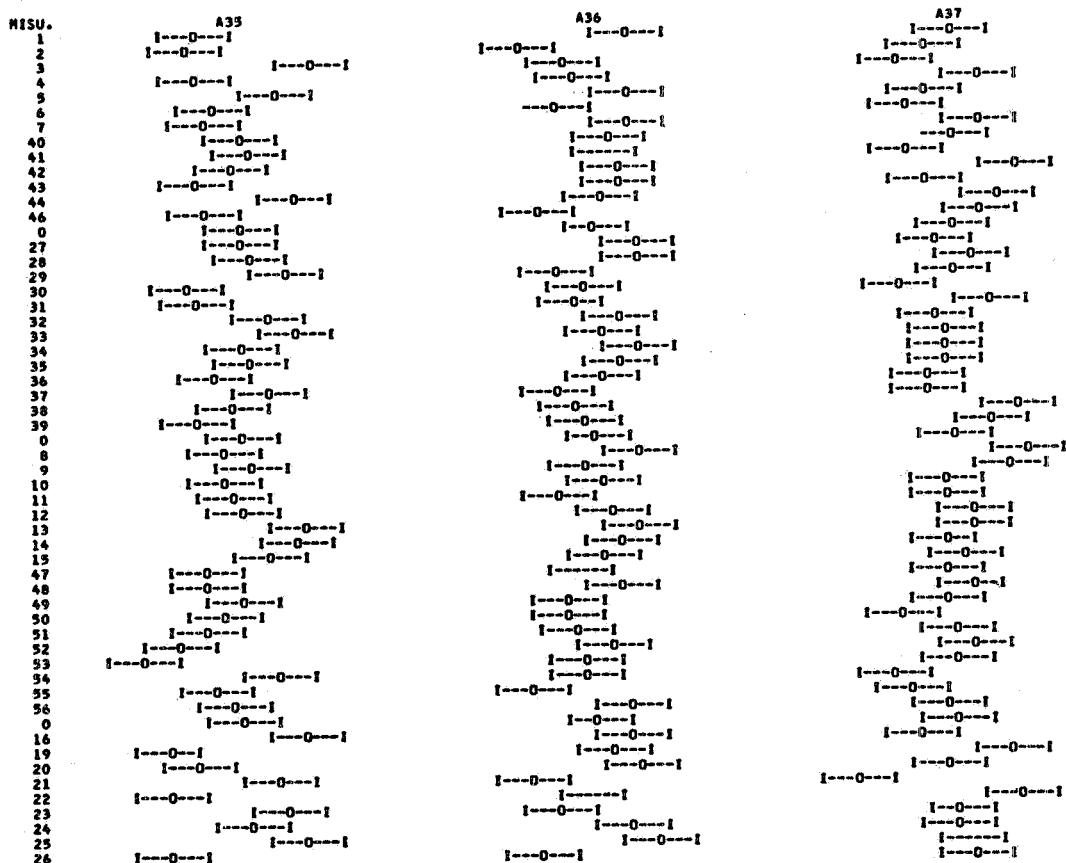
Dai due blocchi di misure per P > 0 e P < 0 fatti nella stessa situazione cinematica e durante lo stesso gruppo di turni macchina calcola in S₃₅, S₃₆ e nei canali di momento 1, 2, 3, 4 la asimmetria A con il

(*) - E' risultato che tutte le distribuzioni relative a ciascun gruppo di turni macchina soddisfano le richieste (a), (b) e (c) in C), tranne quella di S₃₆ nel gruppo di turni macchina del 13/7/1966 (non soddisfa la richiesta a)), i cui risultati sono tuttavia scartati in base ai criteri in F). Dalla tabella III risulta per il livello di confidenza medio su tutto l'esperimento:

$$P(\chi^2) = 56\% \quad [\chi^2 = 1363; \text{gradi di libertà } 1446]$$

$$P(\alpha) = 72\% \quad [\alpha = -0.016]$$

GRAFICO DELLA STABILITÀ DEI CONTATORI DURANTE I TURNI DEL 501



SCARTI A35 2 (0.0364)

SCARTI A36 1 (0.0162)

FIG. 4

ISTOGRAMMA DELLA STABILITÀ DEI CONTATORI DURANTE I TURNI DEL 501

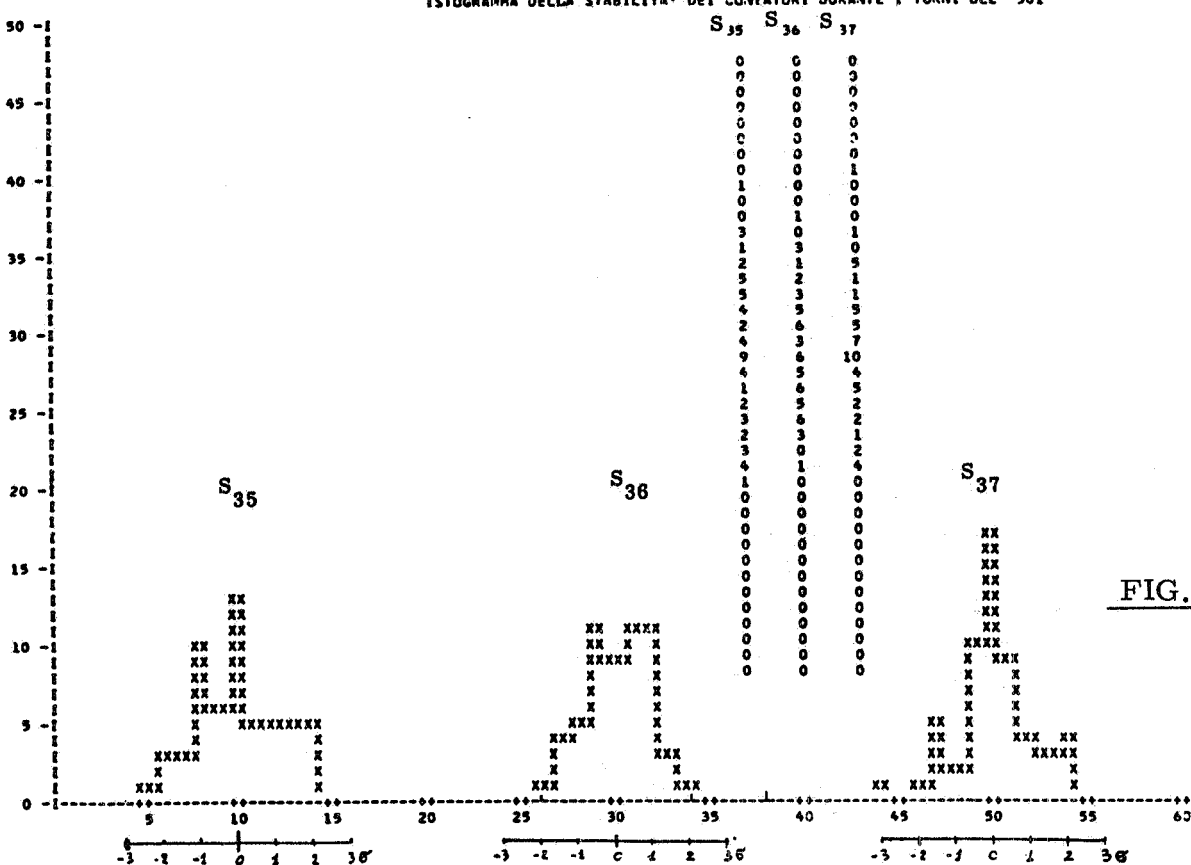


FIG. 5

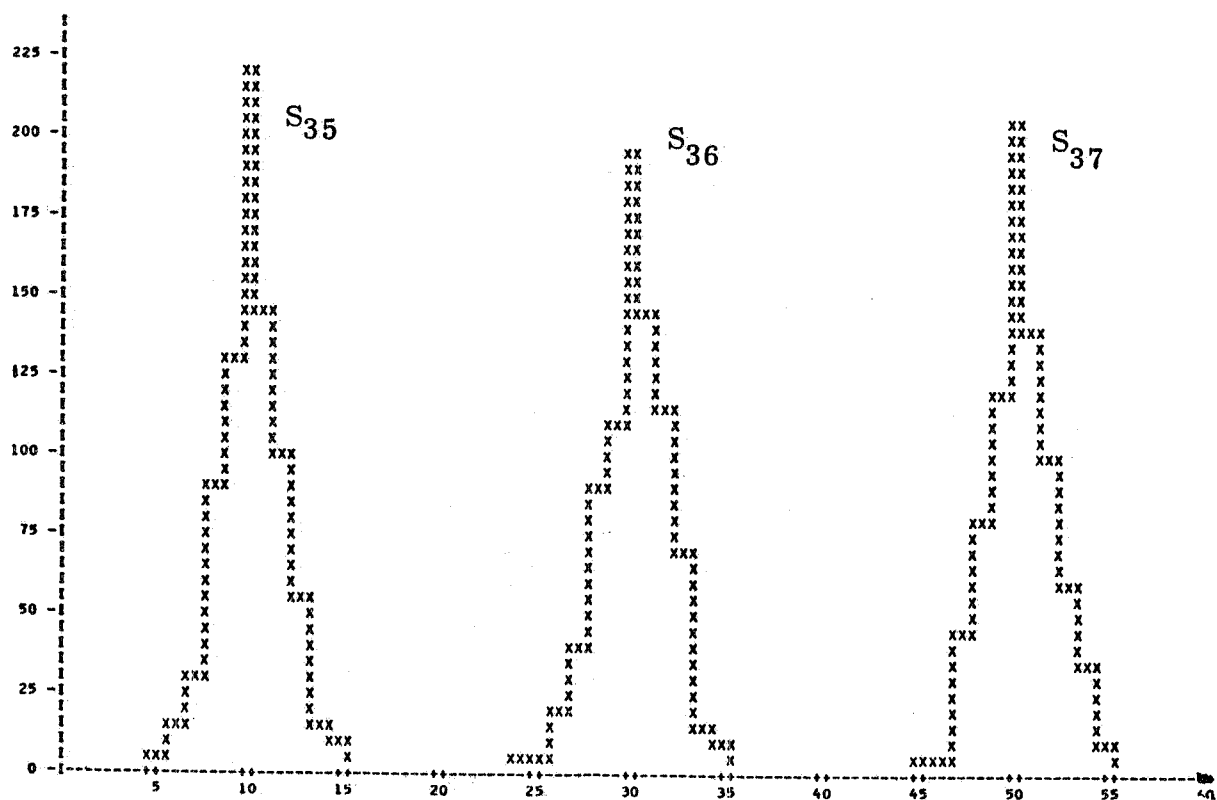


FIG. 6 - Distribuzione degli scarti dei conteggi nel nostro esperimento.

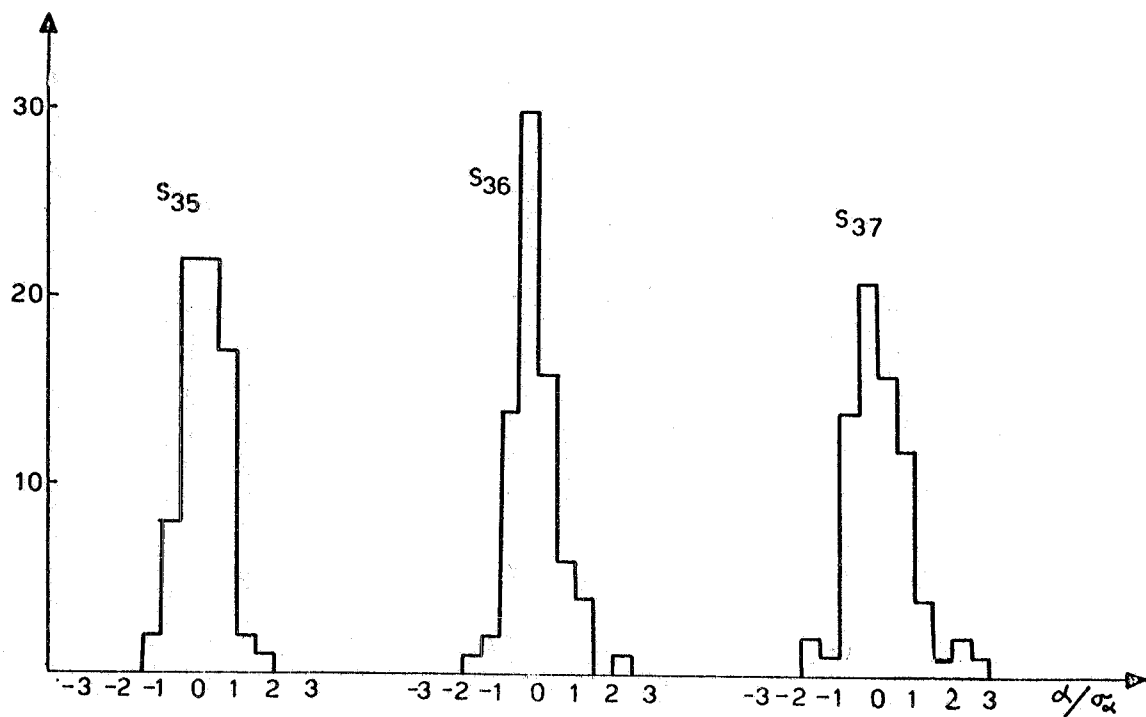


FIG. 7 - Distribuzione degli scarti della "skewness" nel nostro esperimento.

TABELLA II

TABELLE RIASSUNTIVE DELLA STABILITÀ DEI CONTATORI - RIASSUNTO PER BLOCCHI DI TURNI E RIASSUNTO TOTALE

TURNI DEL	\$35 PCH(ICI)			\$36 PCH(ICI)			\$37 PCH(ICI)			PIONI IN \$35 E \$36		
	SKEWNESS	PCH(ICI)	SKEWNESS	\$36 PCH(ICI)	SKEWNESS	\$37 PCH(ICI)	SKEWNESS	\$37 PCH(ICI)	SKEWNESS	\$37 PCH(ICI)	SKEWNESS	\$37 PCH(ICI)
1810 1	11	0.6681	5.82	0.795	13	0.4341	10.091	-0.453	10	0.2951	8.461	0.494
1810 2	18	0.9681	6.64	-0.154	19	0.5811	14.251	0.930	17	0.4781	13.631	0.240
1810 1+2	29	0.9641	12.461	0.414	32	0.5581	24.341	0.263	27	0.3951	22.101	0.333
1012 1	32	0.7871	21.91	-0.821	36	0.0041	58.211	0.240	32	0.8071	21.461	0.300
1012 2	38	0.6351	30.631	-0.279	39	0.5071	34.221	-0.122	38	0.4601	34.171	-0.508
1012 1+2	70	0.8001	52.541	-0.545	75	0.0231	92.421	0.165	70	0.7041	55.631	-0.268
1303 1	30	0.1871	33.331	0.032	30	0.1131	36.131	0.448	30	0.0651	38.961	0.078
1303 2	32	0.8611	20.981	-0.403	32	0.4691	29.321	-0.599	32	0.3251	31.911	0.200
1303 1+2	62	0.5401	54.311	-0.107	62	0.1831	65.451	0.030	62	0.0881	70.871	0.131
604 1	21	0.5481	18.621	0.270	21	0.0701	30.081	-0.608	21	0.3311	22.201	-0.084
604 2	14	0.0131	27.101	0.094	14	0.4101	13.591	0.167	14	0.9961	3.641	-0.800
604 1+2	35	0.0761	45.711	0.161	35	0.1041	43.591	-0.365	35	0.8091	25.881	-0.036
2805 1	38	0.9381	24.011	0.628	38	0.3751	38.111	-0.500	38	0.9471	23.531	-0.058
2805 2	38	0.2751	40.631	0.401	38	0.9461	23.551	0.375	38	0.1441	45.061	-0.185
2805 1+2	76	0.7201	64.651	0.488	76	0.8041	61.651	-0.200	76	0.5931	68.591	-0.155
107 1	37	0.7811	28.341	0.229	37	0.1781	42.571	-0.239	37	0.0011	18.1141	-0.367
107 2	25	0.0131	37.101	-0.193	25	0.4991	22.381	0.174	25	0.0101	41.871	2.024
107 1+2	62	0.2351	65.441	-0.051	62	0.2491	64.951	-0.104	62	0.0011	22.311	-0.103
2007 1	9	0.3541	8.881	-0.842	9	0.3871	8.201	-0.618	9	0.1171	12.871	-0.616
3007 1	10	0.8921	4.301	-0.375	10	0.1551	13.191	-0.473	10	0.1981	12.291	1.138
3007 2	19	0.7261	13.171	-0.760	19	0.1981	21.691	-0.530	19	0.0921	25.161	0.250
2409 1	17	0.0231	27.991	-0.219	15	0.6441	10.551	0.116	15	0.5411	11.851	0.068
2409 2	21	0.6801	15.681	0.058	20	0.1801	23.321	-0.101	18	0.1191	16.511	1.035
2409 1+2	38	0.1251	43.671	-0.142	35	0.3271	33.971	-0.050	33	0.5601	28.351	0.608
501 1	29	0.3201	29.891	0.626	30	0.8871	19.391	-0.570	28	0.4191	26.841	0.363
501 2	22	0.0231	34.611	-0.250	22	0.3541	21.811	-0.083	22	0.1961	25.161	-0.552
501 1+2	51	0.0471	64.511	0.124	52	0.7481	41.171	-0.294	50	0.2531	52.011	-0.472
1401 1	63	0.6671	51.921	0.093	62	0.4991	55.401	-0.305	61	0.5671	52.631	0.687
1401 2	63	0.7551	49.351	-0.281	61	0.4411	55.021	-0.167	59	0.2821	58.491	1.007
1401 1+2	126	0.7981	101.271	-0.079	123	0.4751	111.321	-0.239	120	0.4001	111.111	0.880
803 1	44	0.7521	32.701	0.109	41	1.0011	13.991	-0.619	40	0.3441	26.671	0.512
803 2	44	0.9821	22.961	0.636	40	0.2441	40.431	0.266	38	0.6001	30.371	-0.304
803 1+2	88	0.9751	55.661	0.293	81	0.9291	54.421	0.086	78	0.9271	57.031	0.024
106 1	23	0.1421	25.641	0.420	23	0.3291	21.151	-0.600	23	0.4101	19.761	-0.233
106 2	30	0.9851	13.001	0.555	30	0.5541	24.401	-0.628	29	0.1361	32.841	-0.576
106 1+2	53	0.7381	38.641	0.525	53	0.4501	45.551	-0.623	52	0.1761	52.601	-0.495
1307 1	30	0.4941	27.471	0.445	26	0.2331	28.701	-0.293	26	0.0011	61.331	0.322
1307 2	28	0.9601	14.881	1.682	22	0.4711	19.801	-0.548	22	0.2931	22.941	0.376
1307 1+2	58	0.8761	42.351	0.825	48	0.2971	48.501	-0.395	48	0.0011	64.271	0.355
TOTALE 1	384	0.6448	336.531	0.152	381	0.1371	372.381	-0.185	370	0.0011	507.681	-0.160
TOTALE 2	383	0.8601	317.851	0.160	372	0.4751	333.551	-0.315	362	0.0481	368.891	0.147
TOTALE 1+2	767	0.8521	654.381	0.075	753	0.2071	709.031	-0.148	732	0.0011	876.581	0.060
RIASSUNTO TOTALE (\$35+\$36)	PROBABILITA'(ICI SQUARE)=			0.5611	1363.401			SKEWNESS=	-0.016	PIONI UTILI = 3083360.		

TABELLA III - Stabilità dei contatori e risultati asimmetria

ANALISI DATI PER TETA C.M. 71 GRADI ED ENERGIA CENTRALE DEL GAMMA 280 MEV

TURNI DEL 1401

STABILITA' DEI CONTATORI PER LA POSIZIONE 1 DEL MONOCRISTALLO

MISU.	DOSI	A35/1000	A36/1000	A37/1000	C8/TOT	SCARTI IN DEVIAZIONI STANDARD IN
8	50.0	1972	62	2544	71	SCARTATO A35 0.525 0.008 0.081 0.006 -2.60 -1.48 0.80
9	97.1	1771	42	2641	52	-0.88 -0.15 0.44
10	100.0	1832	42	2658	51	0.14 0.007 0.085 0.004 -0.54 0.16 -0.97
11	100.0	1799	42	2698	51	0.525 0.007 0.086 0.006 -0.23 0.93 0.47
12	25.0	1900	67	2664	103	0.523 0.015 0.099 0.009 1.05 0.14 0.13
4	322.1	5826	76			PROBABILITA' (CHI SQUARE) = 0.085 0.002
4	100.0	1808	23			PROBABILITA' (CHI SQUARE) = 0.5313 (2.21)
5	372.1			9859	99	PROBABILITA' (CHI SQUARE) = 0.5376 (3.13)
5	100.0			2649	26	PROBABILITA' (CHI SQUARE) = 0.7122 (1.38)
4	322.1					STANDARDS (PROBABILITA' = 0.0300) SK= 0.42 (-0.80)

STABILITA' DEI CONTATORI PER LA POSIZIONE 2 DEL MONOCRISTALLO

MISU.	DOSI	A35/1000	A36/1000	A37/1000	C8/TOT	SCARTI IN DEVIAZIONI STANDARD IN
41	66.7	1674	50	2283	58	0.533 0.010 0.090 0.006 -0.29 0.26 0.85
42	50.0	1578	56	2254	67	0.335 0.011 0.076 0.006 -1.46 -0.21 0.94
43	50.0	1720	59	2288	67	SCARTATO A3 0.109 0.007 -1.52 0.29 -3.54
44	59.0	1661	53	2222	61	0.511 0.010 0.099 0.006 0.02 -0.75 1.34
45	25.0	1704	82	2216	94	0.515 0.016 0.082 0.009 0.53 -0.56 -0.59
46	34.1	1668	69	2234	80	0.532 0.014 0.090 0.008 0.12 -0.42 0.53
47	50.0	1744	59	2376	68	0.520 0.011 0.083 0.006 1.42 1.56 -0.39
48	16.6	1526	90	2241	109	0.522 0.019 0.074 0.010 -1.47 -0.24 -0.14
7	303.4	5037	70			PROBABILITA' (CHI SQUARE) = 0.086 0.003
7	100.0	1660	23			PROBABILITA' (CHI SQUARE) = 0.3507 (6.70)
7	303.4			6882	82	PROBABILITA' (CHI SQUARE) = 0.7237 (3.66)
7	100.0			2268	27	PROBABILITA' (CHI SQUARE) = 0.5199 (4.22)
6	303.4					STANDARDS (PROBABILITA' = 0.0187) SK= 0.70 (-0.30)

CALCOLD ASIMMETRIA

CAN	ENERGIA	ASIMMETRIA	ERRORE PER	FONDO	POL
A36	295.2	0.300 0.043	STAT. 0.031 0.011 0.028	FONDO 0.038 0.08 0.224	POL 0.037 0.08 0.281
A35	266.8	0.213 0.053	0.048 0.010 0.020		
1	302.2	0.311 0.053	0.043 0.011 0.029		
2	287.4	0.288 0.054	0.046 0.011 0.027		
3	272.6	0.235 0.066	0.062 0.010 0.022		
4	257.8	0.180 0.073	0.077 0.009 0.016		

TABELLA IV

TABELLA FINALE DELLE ASIMMETRIE PER TETA C.M. 45 GRADI

ENERGIA	ASIMMETRIA	ERR. STAT.	POL	DATA	EN.CEN.	CAN	STABILITA'	SCARTI	
211.1	4.6	0.771 0.185	0.126	0.302	1810	225	0.72 0.56	1 0	
220.4	4.6	0.459 0.121	0.097	0.308	1810	225	0.72 0.56	1 0	
229.6	4.6	0.303 0.102	0.092	SCARTO PER NSC	0.308	225	0.82 0.94	2 0	
238.9	4.6	0.151 0.092	0.090	SCARTO PER NSC	0.305	1810	225	0.82 0.94	2 0
211.1	4.6	0.322 0.104	0.092	0.302	1012	225	0.35 0.49	0 0	
220.4	4.6	0.351 0.087	0.069	0.308	1012	225	0.35 0.49	0 0	
229.6	4.6	0.335 0.086	0.070	SCARTO PER NSC	0.308	1012	225	0.90 0.32	2 0
238.9	4.6	0.443 0.103	0.079	SCARTO PER NSC	0.305	1012	225	0.90 0.32	2 0
211.1	4.6	0.332 0.121	0.109	0.302	1303	225	0.54 0.41	0 0	
220.4	4.6	0.345 0.095	0.080	0.303	1303	225	0.54 0.41	0 0	
229.6	4.6	0.273 0.082	0.071	0.308	1303	225	0.18 0.80	0 0	
238.9	4.6	0.329 0.092	0.079	0.305	1303	225	0.18 0.80	0 0	
301.6	7.2	0.344 0.051	0.043	SCARTO PER NSC	0.295	1401	280	0.31 0.42	1 2
287.2	7.2	0.277 0.054	0.049	SCARTO PER NSC	0.267	1401	280	0.31 0.42	1 2
272.8	7.2	0.334 0.066	0.059	0.239	1401	280	0.55 0.89	0 0	
258.4	7.2	0.384 0.083	0.076	0.209	1401	280	0.55 0.89	0 0	
278.9	6.3	0.206 0.036	0.032	SCARTO PER NSC	0.407	803	260	0.86 0.31	2 2
266.3	6.3	0.250 0.044	0.037	SCARTO PER NSC	0.381	803	260	0.86 0.31	2 2
253.7	6.3	0.293 0.060	0.050	0.350	803	260	0.50 0.94	0 0	
241.1	6.3	0.402 0.087	0.066	0.316	803	260	0.50 0.94	0 0	
335.5	8.5	0.591 0.068	0.044	SCARTO PER NSC	0.346	803	310	0.98 0.63	0 3
318.5	8.5	0.576 0.066	0.044	SCARTO PER NSC	0.307	803	310	0.98 0.63	0 3
301.5	8.5	0.521 0.069	0.053	0.268	803	310	0.52 0.99	0 0	
284.5	8.5	0.525 0.088	0.075	0.232	803	310	0.52 0.99	0 0	
369.3	9.8	0.632 0.098	0.063	0.286	803	340	0.80 0.11	0 0	
349.8	9.8	0.578 0.086	0.063	0.248	803	340	0.80 0.11	0 0	
330.2	9.8	0.568 0.096	0.081	0.209	803	340	0.94 0.74	0 1	
310.7	9.8	0.362 0.114	0.109	0.174	803	340	0.94 0.74	0 1	
425.5	11.8	0.947 0.208	0.094	0.288	106	390	0.19 0.30	0 0	
401.8	11.8	0.842 0.162	0.082	0.240	106	390	0.19 0.30	0 0	
378.2	11.8	0.817 0.154	0.090	0.195	106	390	0.49 0.51	0 0	
354.5	11.8	0.818 0.159	0.122	0.150	106	390	0.49 0.51	0 0	
492.6	14.2	1.367 0.735	0.154	0.226	1307	450	0.92 0.89	0 0	
464.2	14.2	1.107 0.364	0.134	0.183	1307	450	0.92 0.89	0 0	
435.8	14.2	0.618 0.221	0.152	0.143	1307	450	0.46 0.34	0 0	
407.4	14.2	0.944 0.245	0.183	0.108	1307	450	0.46 0.34	0 0	

suo errore statistico, l'errore dovuto all'indeterminazione sulla conoscenza della polarizzazione P , quello dovuto all'errore sul fondo e l'errore totale. Questi risultati assieme a quelli in C) e D) relativi alla stabilità delle misure sono stampati su un'unica tabella per ogni punto sperimentale (vedi Tabella III).

I risultati relativi ai canali 1, 2, 3, 4 sono memorizzati su nastro magnetico: nel caso che la stabilità di S_{37} , per uno o entrambi i segni di P , risultasse non accettabile (criteri (a), (b) e (c) in C)) vengono memorizzati invece i risultati relativi ad S_{35} e S_{36} , tralasciando la ulteriore divisione in 4 canali.

F) Risultati: analisi della consistenza; tabella e grafici riassuntivi. -

Rileggendo dal nastro magnetico il programma GED compie per ogni angolo del piona nel c. m. le seguenti operazioni:

- 1) Stampa per ogni θ_{CM} la tabella dei risultati delle asimmetrie A con gli errori statistici, per il fondo e totali, le energie del γ e le risoluzioni in energia, la $P(\chi^2)$ di S_{35} od S_{36} ed il numero di scarti in S_{35} o S_{36} (a seconda che i risultati si riferiscano a canali di S_{35} o di S_{36}), per $P > 0$ e $P < 0$. Un esempio è la tabella IV. Sulla tabella scrive esplicitamente indicandone il motivo, quando il risultato non è accettabile perché i blocchi di misure da cui deriva non soddisfano tutti i criteri esposti in § III - C). Nelle successive operazioni 2), 3), 4) sono considerati solo i risultati accettabili.
- 2) Ordina i risultati in energia crescente e media tra loro quelli che distano meno di 2 MeV in $E\gamma$.

TABELLA V

Risultati scartati per incompatibilità con il fit di tutti i risultati.

$\theta_{C.M.}$	n. scarti	Percent. %
30°	0	0
45°	0	0
71°	1	3.8
90°	2	4.9
120°	0	0
133°	0	0
144°	0	0
Totale	3	2.4
Previsti	2	1.3

- 3) Dei risultati ordinati e mediati viene fatto un fit polinomiale in funzione dell'energia per ciascun angolo θ_{CM} allo scopo di avere un andamento medio con cui confrontare i singoli punti. I punti incompatibili con il fit (secondo il solito criterio in III B) vengono scartati singolarmente, senza riguardo alla loro storia precedente, ed il numero di scarti deve essere, entro i limiti di confidenza imposti, vicino a quello prescritto dalla statistica. Tale numero, in effetti (vedi Tabella V), è compatibile con le previsioni statistiche. Questa parte del calcolo è fatta con la Subroutine FIT, che descriviamo in Appendice F.

14.

- 4) Dà il grafico delle asimmetrie calcolate (riportando le asimmetrie con il loro errore statistico ed il loro errore totale) ed il loro miglior fit polinomiale, calcolato in 3), utilizzando la Subroutine PLOTBU; un esempio di questi grafici è in Fig. 8.

Come si può facilmente comprendere dalla schematica descrizione fattane, la struttura del programma è piuttosto complessa. Rinunziamo quindi ad una descrizione più dettagliata, anche perché molte delle cose sono particolari del nostro esperimento e altre rientrano nella normale tecnica di programmazione: diamo soltanto in Fig. 9 il diagramma a blocchi molto schematico del programma per facilitare la comprensione di quanto sopra esposto.

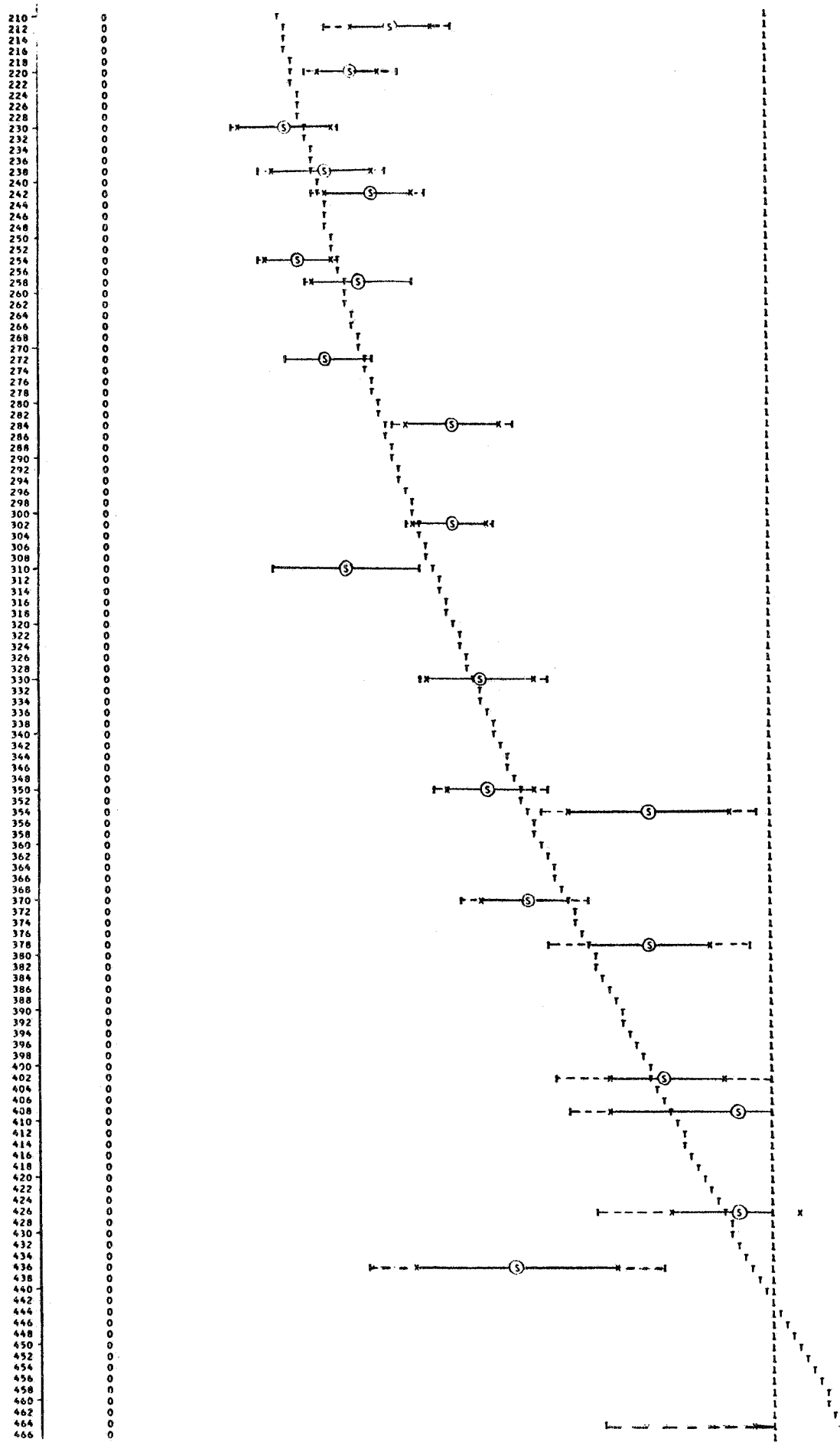
Più utili sono invece le molte "subroutines" e "functions" di cui abbiamo dovuto corredare il programma e che descriviamo nelle appendici, anche se alcune di esse sono banali e altre sono miglioramenti di subroutines già esistenti presso il Centro Calcolo dei LNF.

Ringraziamo sentitamente il Dott. M. Buonanni per averci spesso seguito nel corso del lavoro con indicazioni e consigli; ringraziamo anche tutti i colleghi del gruppo: M. Grilli, M. Nigro, E. Schiavuta, F. Soso per le utili discussioni sull'impostazione generale del metodo usato.

BIBLIOGRAFIA. -

- (1) - R. Giantin, M. Grilli, M. Nigro, E. Schiavuta, P. Spillantini, F. Soso and V. Valente, LNF-66/68 (1966); Nuovo Cimento, in corso di pubblicazione.
- (2) - G. Barbiellini, G. Bologna, G. Diambrini and G. P. Murtas, Phys. Rev. Letters 8, 112 (1962).
- (3) - P.C.Guest, Numerical Methods of curve fitting (Cambridge, 1961), pag. 15 e 16.
- (4) - C. G. Paradine and B. H. Rivett, Statistical methods for technologists (Oxford, 1960), pag. 18 e 82.
- (5) - G. Fronterotta e A. Rambaldi, LNF-62/27 (1962).

GRAFICO DELL'ASIMMETRIA Sperimentale e Teorica per Teta C.M. = 45 GRADI

FIG. 8 - Grafico di $A(E_\gamma)$: sperimentale e del suo fit.

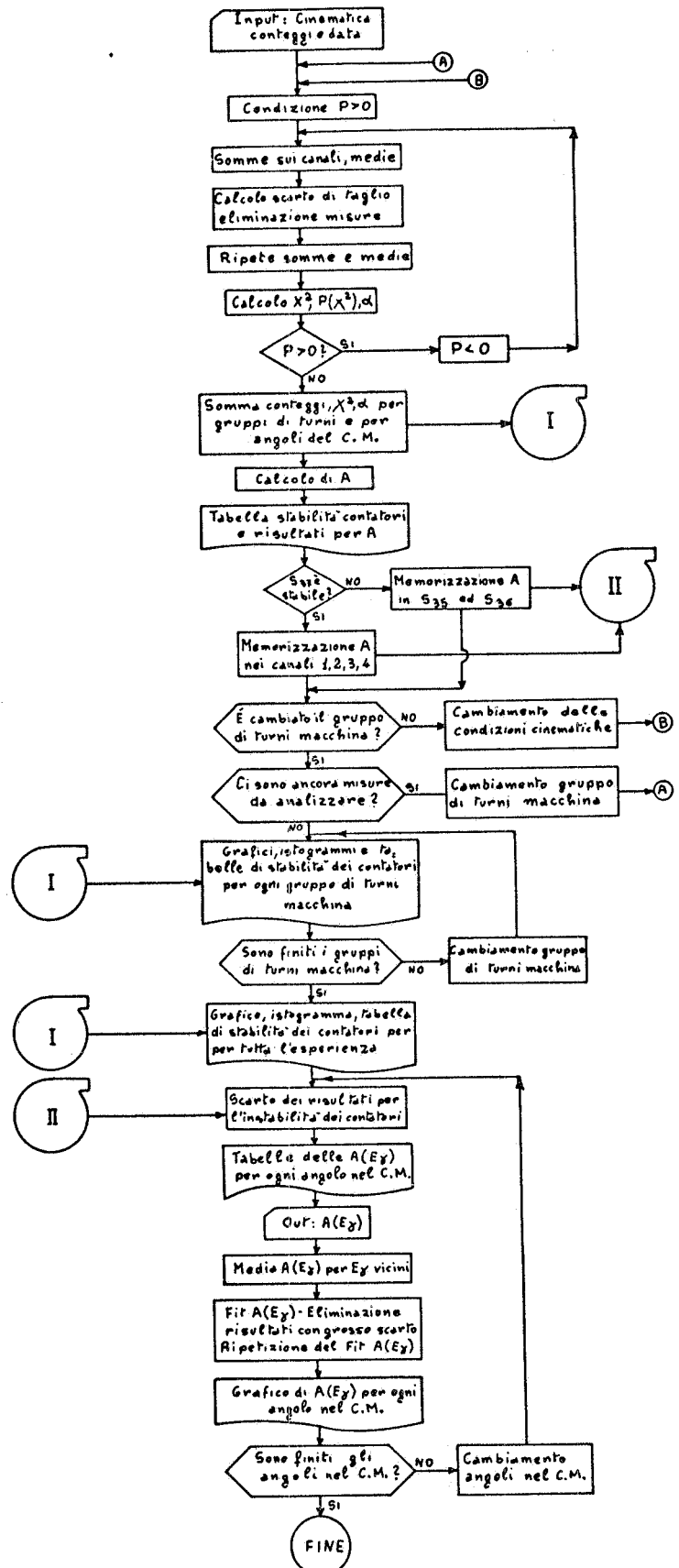


FIG. 9 - Diagramma a blocchi del programma GED.

APPENDICE A. -

Ricaviamo per esteso i contributi all'errore ΔA degli errori di tutte le grandezze che determinano A.

Dalla formula (2) si ha:

1) Errore su A dovuto all'errore su P:

$$\Delta A = - \frac{C_{\perp} - C_{\parallel}}{C_{\perp} + C_{\parallel} - 2B} \frac{\Delta P}{P^2} = - A \frac{\Delta P}{P}$$

2) Errore su A dovuto all'errore su C_{\perp} :

$$\Delta A = \frac{2}{P} \frac{1}{(\frac{C_{\perp} - B}{C_{\parallel} - B} + 1)^2} \frac{\Delta C_{\perp}}{C_{\parallel} - B}$$

e ponendo $R = \frac{C_{\perp} - B}{C_{\parallel} - B}$

$$\Delta A = \frac{2}{P} \frac{R}{(R + 1)^2} \frac{\Delta C_{\perp}}{C_{\perp} - B}$$

3) Errore su A dovuto all'errore su C_{\parallel} : in modo del tutto analogo si ha:

$$\Delta A = - \frac{2}{P} \frac{R}{(R + 1)^2} \frac{\Delta C_{\parallel}}{C_{\parallel} - B}$$

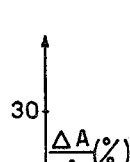


FIG. 10

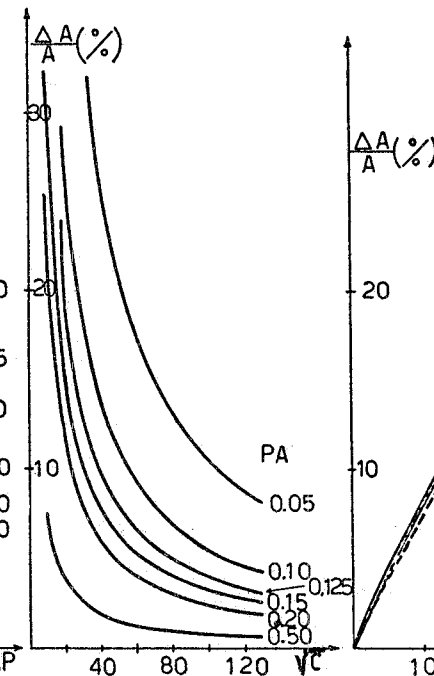


FIG. 11

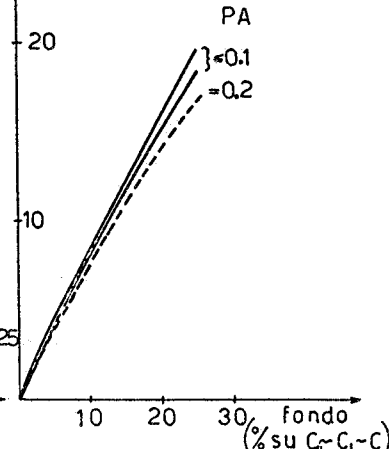


FIG. 12

4) Errore su A dovuto all'errore su B

$$\Delta A = \frac{2}{P} \frac{C_{\perp} - C_{\parallel}}{(C_{\perp} + C_{\parallel} - 2B)^2} \Delta B = \\ = \frac{2}{P} \frac{R}{(R+1)^2} \frac{(C_{\perp} - C_{\parallel})/B}{\left(\frac{C_{\perp} + C_{\parallel}}{B^2} - \frac{C_{\perp} + C_{\parallel}}{B} + 1\right)} \frac{\Delta B}{B}$$

Combinando quadraticamente contributi di 1), 2), 3), e 4) si ottiene la (3). Nelle Figg. 10, 11, 12 sono riportati gli andamenti di $(\Delta A/A)(\Delta P)$, $(\Delta A/A)(\Delta C_{\perp})$, $(\Delta A/A)(\Delta B)$ opportunamente parametrizzati.

Aggiungiamo qui di seguito la SUBROUTINE ASIM usata per il calcolo di A, $\Delta A(\Delta P)$, $\Delta A(\Delta C_{\perp}, \Delta C_{\parallel})$, $\Delta A(\Delta B)$, ΔA totale e della corrispondente energia E_{γ} e risoluzione ΔE_{γ} .

FORTRAN SOURCE LIST		02/17/67
ISN	SOURCE STATEMENT	
0	SIBFTC ASIM	
1	SUBROUTINE ASIM(ICAN,CPE,CPA,DPE,DPA,POSCA,POLB,B,DB,MX,LAB,A,DAST	
	IA,DAF,DAF,DATOT,EN,DEN,POL,BI,DBI)	
2	POL=POLB	
3	EG=MX	
4	TCM=LAB	
5	DCPE=SORT(CPE)	
6	DCPA=SQRT(CPA)	
7	CPE=CPE/DPE	
10	CPA=CPA/DPA	
11	DCPE=DCPE/DPE	
12	DCPA=DCPA/DPA	
13	B=CPE*B	
14	DB=CPE*DB	
15	R=(CPE-B)/(CPA-B)	
16	A=(R-1.)/(R+1.)*POL	
17	PIPP0=2.*R/(R+1.)*(R+1.)*POL	
20	DCPE2=(DCPE*DCPE)/(CPE-B)*(CPA-B)	
21	DCPA2=(DCPA*DCPA)/(CPA-B)*(CPA-B)	
22	DASTA=PIPP0*SQRT(DCPE2+DCPA2)	
23	DAP=(.01*A)/POL	
24	DAF1=(DB*(CPE-CPA)/B)/((CPE*CPA/(B*B))-(CPE*CPA)/B+1.)*B	
25	DAF=PIPP0*DAF1	
26	DAF2=DAF1*DAF1	
27	DATOT=SQRT(PIPP0*PIPP0*(DCPE2+DCPA2+DAF2)+DAP*DAP)	
30	EMPR=939.55	
31	EMN=938.256	
32	EMPI=139.58	
33	EEP=EMPR*EMPR	
34	EEN=EMN*EMN	
35	EEPI=EMPI*EMPI	
36	W2=EEP+2.*EG*EMPR	
37	W=SORT(W2)	
40	S=EMPR/W	
41	DEPCM=(EMPR*W-(EEPI-EEN)*S)/(2.*W2)	
42	EPCM=(W2+EEPI-EEN)/(2.*W)	
43	GC=(EG/W)+S	
44	DGC=(W-(EG+EMPR)*S)/W2	
45	GCBC=EG/W	
46	DGCBC=(1.-(EG+EMPR/W2))/W	
47	CK=EEPI+EEN-EEP-2.*EG*EMPR	
50	AZ=CK-4.*EEPI+EEN	
51	PPICH=SQRT(ABS(AZ))/(2.*W)	
52	AR=(-CK+W2*2.*EMPR)-W*AZ*S)/(2.*W2*W2)	
53	DPCM=AR/(2.*PPICH)	
54	SOS=EPCM*DGC+GC*DEPCM	
55	TETA=TCM*0.01745329	
56	SES=COS(TETA)*(DGCBC*PPICH*DPCM*GCBC)	
57	UFFA=PPICH*SIN(TETA)	
60	ACCA=PPICH*COS(TETA)*GCBC*EPCM/GC	
61	PLAB=SQRT(UFFA*UFFA+GC*GC*ACCA*ACCA)	
62	BLAB=PLAB/SQRT(PLAB*PLAB+EEPI)	
63	DPI=(SOS+SES)/BLAB	
64	EN=EG+0.03375*PLAB*(-POSCA)/DPI	
65	DEN=ABS((EN-EG)/POSCA)	
66	BI=B/CPE	
67	DBI=DB/CPE	
70	RETURN	
71	END	

APPENDICE B. -

Dato un limite $P(\xi_L)$ sulla probabilità integrale della gaussiana degli scarti, si vuole lo scarto ξ_L corrispondente a questo limite. La probabilità integrale può essere calcolata tra $-\infty$ e $+\xi_L$ o $-\xi_L$ e $+\xi_L$ a seconda che l'indice NPARTE sia 1 o 2. $P(\xi_L)$ è uguale al rapporto tra una costante (PROBAB) e il numero di punti della distribuzione (NMIS). Quando il risultato ξ_L eccede tre "standard deviations" è posto sempre uguale a 9.9999 "standard deviations".

Il procedimento di calcolo è talmente banale (interpolazione lineare) che è superfluo descriverlo e ci limitiamo a riportare il tabulato della "FUNCTION TAGLIO".

ISN	SOURCE STATEMENT	FORTRAN SOURCE LIST	02/17/67
0	\$IBFTC TAGLIO		
1	FUNCTION TAGLIO(PROBB, NMIS, NPARTE)		
C	CALCOLO DEL TAGLIO		
2	DIMENSION P(40)		
3	P(1)=0.0000		
4	P(2)=0.0398		
5	P(3)=0.0793		
6	P(4)=0.1179		
7	P(5)=0.1555		
10	P(6)=0.1915		
11	P(7)=0.2257		
12	P(8)=0.2580		
13	P(9)=0.2881		
14	P(10)=0.3159		
15	P(11)=0.3413		
16	P(12)=0.3643		
17	P(13)=0.3849		
20	P(14)=0.4032		
21	P(15)=0.4192		
22	P(16)=0.4332		
23	P(17)=0.4452		
24	P(18)=0.4554		
25	P(19)=0.4641		
26	P(20)=0.4713		
27	P(21)=0.4772		
30	P(22)=0.4821		
31	P(23)=0.4861		
32	P(24)=0.4893		
33	P(25)=0.4918		
34	P(26)=0.4938		
35	P(27)=0.4953		
36	P(28)=0.4965		
37	P(29)=0.4974		
40	P(30)=0.4981		
41	P(31)=0.4987		
42	PMIS=NMISS		
43	PT=PROBB/PMIS		
44	PARTA=NPARTE		
45	PT=(0.500*PARTA-PT)/PARTA		
46	DO 10 I=1,31		
47	IT=I		
50	IF(PT.LE.P(I)) GO TO 11		
53	10 CONTINUE		
55	TAGLIO=9.9999		
56	RETURN		
57	11 CIT=IT		
60	TAGLIO=CIT-(1.-(PT-P(IT-1))/(P(IT)-P(IT-1)))		
61	TAGLIO=(TAGLIO-1.)*0.1		
62	RETURN		
63	END		

APPENDICE C. - " χ^2 " e probabilità di " χ^2 ".

Quando di una grandezza X si fanno N misure x_i di peso $p_i = 1/\mu_i^2$ l'uso del criterio di " χ^2 " è molto semplice e di facile interpretazione: infatti il valore previsto per X è semplicemente la media pesata delle misure, $\bar{x} = (\sum x_i p_i / \sum p_i)$. La dispersione della distribuzione degli scarti da x si può calcolare in due modi, a partire dagli scarti o dai pesi delle misure:

$$(1) \quad \sigma_1^2 = \frac{\sum (x_i - \bar{x}) p_i}{(N - 1) \sum p_i} \quad \sigma_2^2 = \frac{1}{\sum p_i}$$

I due risultati sono legati dalla funzione " χ^2 " di $N-1$ gradi di libertà; infatti (3)

$$(2) \quad (N - 1) \frac{\sigma_1^2}{\sigma_2^2} = \sum (x_i - \bar{x})^2 p_i = \sum \left(\frac{x_i - \bar{x}}{\mu_i} \right)^2 = \chi^2_{(N-1)}$$

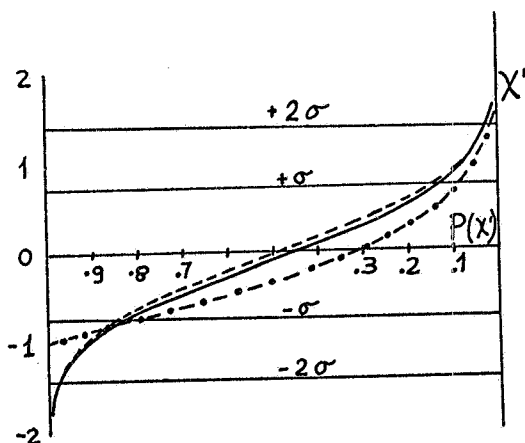


FIG. 13 - Distribuzione di $\chi' = \chi - \sqrt{v}$ in funzione della sua probabilità integrale tra $-\infty$ e χ' per i tre casi:

$$\begin{aligned} v &= 1 \\ v &= 10 \\ v &= \infty \end{aligned}$$

Quindi dati vari "sets" di N misure (x_i, p_i) e calcolato per ciascun "set" in rapporto $(N-1) (\sigma_1^2 / \sigma_2^2)$, tali rapporti si distribuiscono come la funzione probabilità di χ^2 $\varphi(\chi^2)$, di $v = N-1$ gradi di libertà.

Per ottenere la probabilità integrale tra χ^2 e $+\infty$ di avere il valore χ^2 per χ^2 partiamo dalla distribuzione $\chi = \sqrt{N-1} (\sigma_1 / \sigma_2)$, che per N abbastanza grande (x) è una gaussiana distribuita attorno a $\sqrt{N-1} = \sqrt{v}$ con semilarghezza $\sigma = 1/\sqrt{2}$.

In Fig. 13 diamo le probabilità integrali tra $\chi' = \chi - \sqrt{v}$ e $+\infty$ per $N=1, 10$ e ∞ ; da queste, poiché le probabilità integrali si devono conservare passando da χ' a χ^2

(x) - Quando N è molto piccolo (< 10) la seconda delle (1) non dà più per σ_2 una approssimazione buona, ma si deve usare la formula più generale:

$$\sigma_2^2 = \frac{1}{\sum p_i} \left\{ 1 + \frac{4}{(\sum p_i)^2} \sum p_i (\sum p_j - p_i) \frac{1}{n'_i} \right\} \quad \text{con}$$

$$n'_i = n_i - 1 - \frac{4(N-2)}{(N-1)}$$

(cioè $P(\chi^2) = P(\chi^2)$ se $\chi^2 = (\chi' + \sqrt{\nu})^2$) si possono calcolare le probabilità integrali tra χ^2 e $+\infty$ di avere il valore χ^2 per χ^2 . In particolare:

$$\text{se } \chi_0 \text{ non scarta da } \sqrt{\nu} : \chi_0 = \sqrt{\nu} \quad \text{quadrando } \chi_0^2 = \nu$$

$$\text{" } \chi_1 \text{ scarta } 6 \text{ da " : } \chi_1 = \sqrt{\nu} \pm \frac{1}{\sqrt{2}} \quad " \quad \chi_1^2 = \frac{1}{2} + \nu + \sqrt{2\nu}$$

$$\text{" } \chi_2 \text{ scarta } 26 \text{ da " : } \chi_2 = \sqrt{\nu} \pm \frac{2}{\sqrt{2}} \quad " \quad \chi_2^2 = 2 + \nu \pm 2\sqrt{2\nu}$$

$$\text{" } \chi_3 \text{ scarta } 35 \text{ da " : } \chi_3 = \sqrt{\nu} \pm \frac{3}{\sqrt{2}} \quad " \quad \chi_3^2 = \frac{9}{2} + \nu \pm 3\sqrt{2\nu}$$

Gli andamenti di χ_0^2 , χ_1^2 , χ_2^2 , χ_3^2 sono riportati nella Fig. 14 che dà $P(\chi^2)$ parametrizzata in ν ed in Fig. 15 che dà $\nu(\chi^2)$ parametrizzata in $P(\chi^2)$. Si vede da queste figure che oltre al taglio inferiore sullo $P(\chi^2)$ che di solito si considera per un "set" di misura (cioè $P(\chi^2)$ accettata $> P(\chi^2)$ scelta come taglio inferiore), si deve in linea di principio considerare anche un taglio superiore (cioè $P(\chi^2)$ accettata $< P(\chi^2)$ scelta come taglio superiore): infatti quando il χ^2 risulta troppo piccolo si potrebbe sospettare l'esistenza, per esempio, di un fondo continuo non statistico, o di una inefficienza costante (o comunque non dipendente dai pesi p_i) dell'apparato che misura i valori x_i per X . Particolarmenete indicativo è il caso in cui si fanno, per X , N misure x_i di peso $p_i = 1/x_i$ (per esempio con tecniche di conteggio) con una inefficienza costante γ ; la tabella VI mostra che i valori di $P(\chi^2)$ variano molto con γ , specialmente per N grandi.

TABELLA VI

γ	$P(\chi^2)$		
	$N = 11$	$N = 41$	$N = 101$
0	45%	48%	50%
10%	56%	60%	75%
20%	65%	81%	91%
30%	77%	94%	99%
50%	86%	99%	99.7%

Per il nostro esperimento era sempre $N \approx 10$ e certamente $\gamma \ll 10\%$, e quindi non si è dovuto introdurre nessun taglio superiore su $P(\chi^2)$.

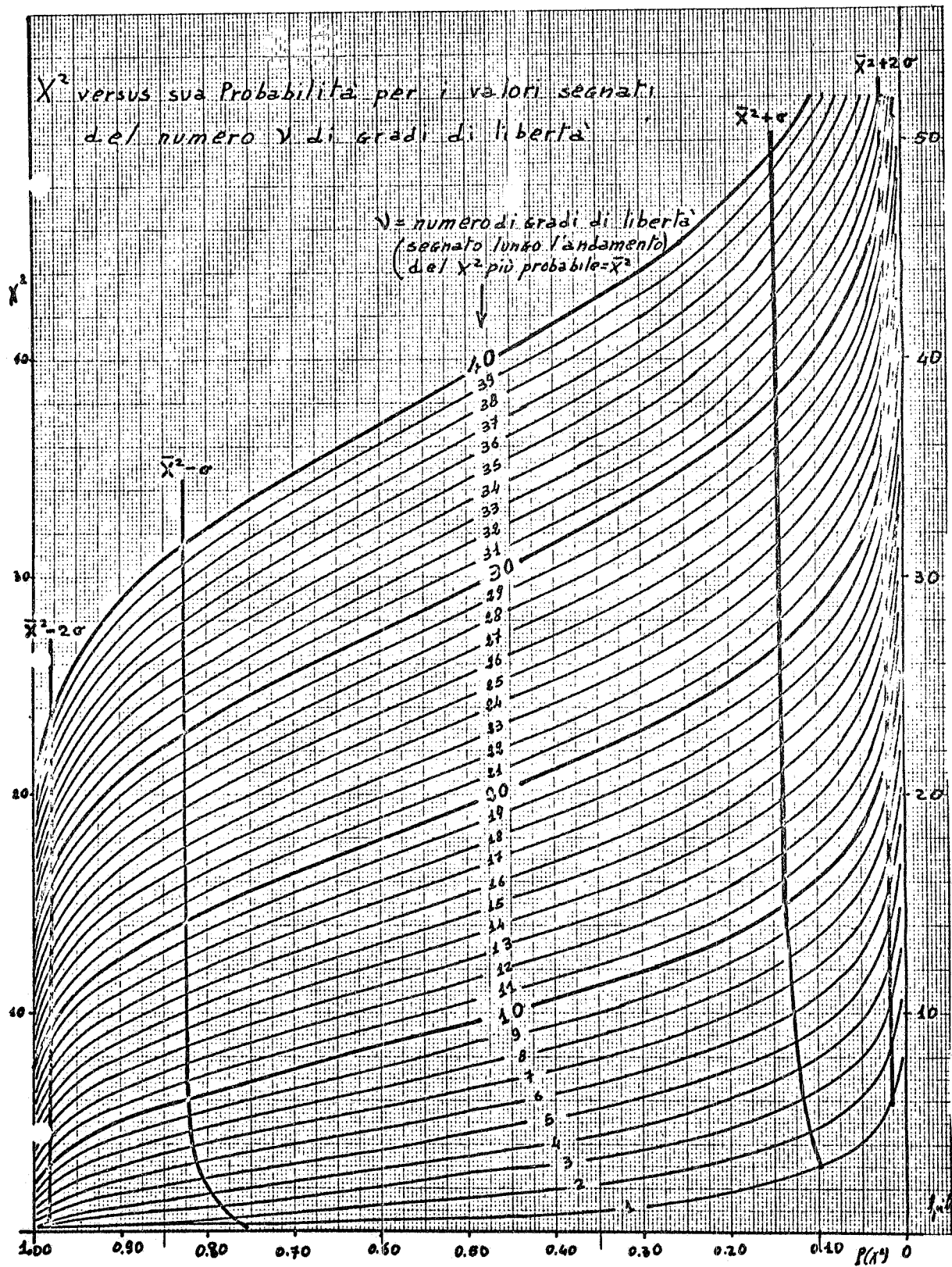


FIG. 14

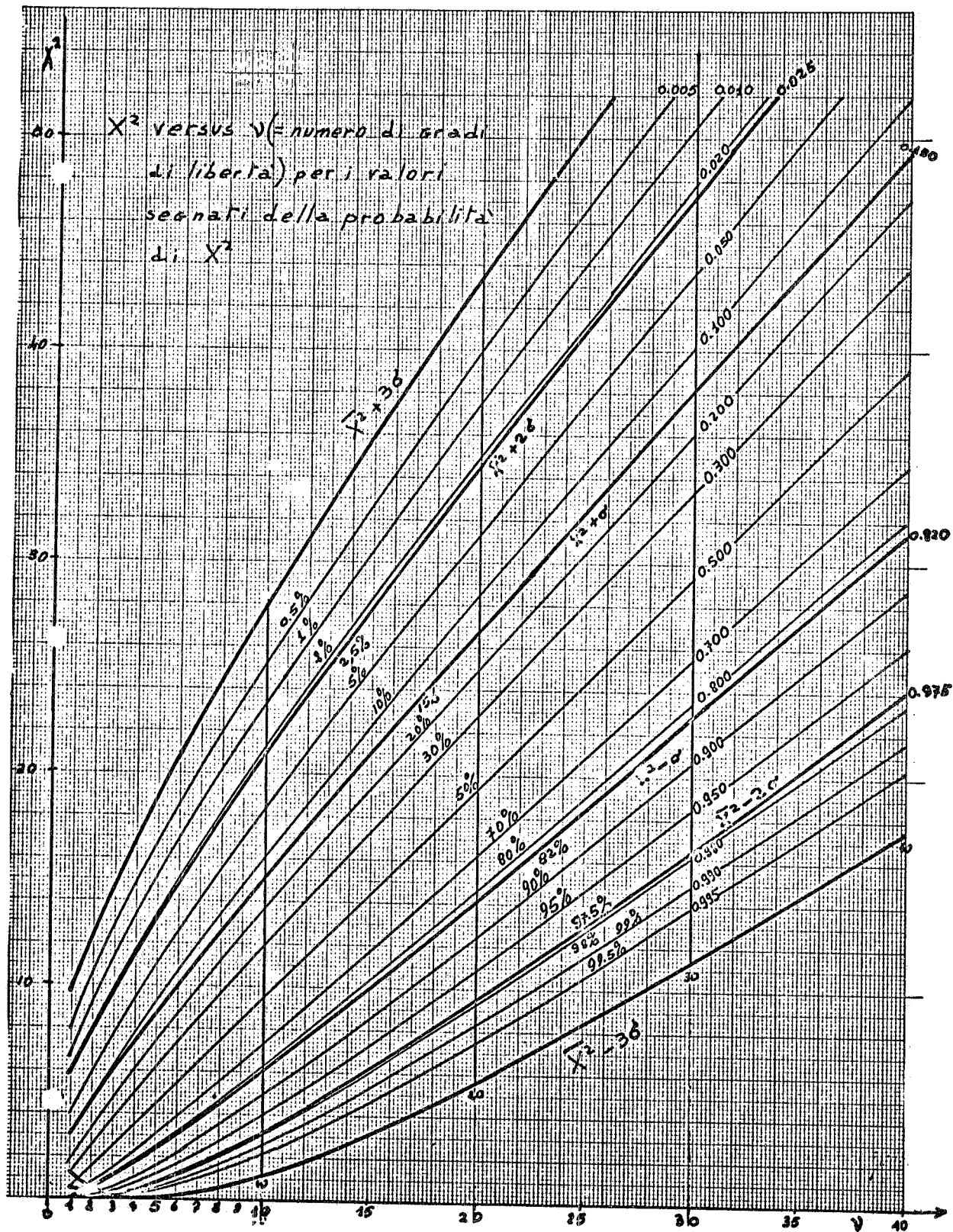


FIG. 15

24.

FUNCTION PCHISQ.--

In essa si calcola il valore $\psi_v(\chi^2)$ poi si incrementa χ^2 di 1 e si ripete il calcolo per $\chi^2 = \bar{\chi}^2 + 1$ e così si procede fino a $\chi^2_3 = 9/2 + v + 3\sqrt{2v}$ cioè tale che $P_v(\chi^2_3) < 3^o/\infty$.

I valori di $\psi_v(\chi^2)$ così ottenuti sono integrati col metodo di Cavalieri-Simpson per ottenere la probabilità integrale $P_v(\chi^2)$.

Le formule usate sono:

$$\psi_v(\chi^2) = \frac{-\frac{\chi^2}{2} \left(\frac{\chi^2}{2} \right)^{\frac{v}{2}-1}}{2 \Gamma(\frac{v}{2})}$$

$$P_v(\chi^2) = \int_{\chi^2}^{\infty} \psi_v(\chi^2) d\chi^2$$

Per calcolare la funzione $\psi_v(\chi^2)$ abbiamo dovuto calcolare il suo logaritmo e poi ripassare alla funzione per mezzo di un esponenziale altrimenti per $v > 32$ il calcolatore va in "overflow". Alleghiamo qui di seguito il tabulato della "FUNCTION PCHISQ".

ISN	SOURCE STATEMENT	FORTRAN SOURCE LIST
0	\$IBFTC PCHISQ	
1	FUNCTION PCHISQ(CHI2,N)	
C	CALCOLO DELLA PROBABILITA DI CHI SQUARE INTEGRALE	
C	TRA IL VALORE DATO ED INFINITO	
C		
2	BADA=10.**(-8.)	
3	PCHIS=0.	
4	SIMP=1.	
5	G=N	
6	BUDA=9./2.+G+3.*SQRT(2.*G)	
7	IF(CHI2-BUDA) 4,4,40	
10	4 G=G/2.	
11	C=CHI2/2.	
12	30 A=G*(ALOG(G)-1.) - ALOG(G)/2. + ALOG(2.*3.1416)/2. + ALOG(1.+1./(12.*G))	
13	FCHIS=-C+(G-1.)*ALOG(C)-ALOG(2.)*A	
14	FCHIS=EXP(FCHIS)	
15	3 IF(FCHIS-BADA) 40,40,41	
16	41 PCHIS=PCHIS+FCHIS*SIMP	
17	C=C+.5	
20	IF(SIMP-2.) 10,10,20	
21	10 SIMP=4.	
22	GO TO 30	
23	20 SIMP=2.	
24	IF(C-BUDA) 30,30,40	
25	40 PCHIS=PCHIS/3.	
26	PCHIS=PCHIS+0.001	
27	PCHISQ=PCHIS	
30	RETURN	
31	END	

APPENDICE D. - Significatività della "skewness". -

La funzione χ^2 dà indicazione circa la larghezza della distribuzione degli scarti attorno a \bar{x} , non dice nulla sulla forma della distribuzione, che potrebbe essere gaussiana, rettangolare, fortemente asimmetrica attorno a \bar{x} , ecc....

Per esplorare la forma della distribuzione è necessario ricorrere ai suoi momenti superiori al secondo.

Particolarmente significativa è la misura della asimmetria rispetto a \bar{x} , che si può esprimere quantitativamente attraverso un parametro chiamato in statistica "skewness" (cioè asimmetria), della distribuzione.

La skewness è definita come il momento terzo della distribuzione misurato in standard deviations⁽⁴⁾. Per un set di N misure, x_i , di peso $p_i = 1/\mu_1^2$, di una grandezza X, essa è data da

$$\alpha = \sqrt{\frac{\mu_3^2}{\mu_2^3}} = \frac{\sum [(x_i - \bar{x})^3 p_i] \sqrt{\sum p_i}}{(\sum [(x_i - \bar{x})^2 p_i])^{3/2}}$$

e si distribuisce attorno al valore zero come una gaussiana di semilarghezza $\sqrt{\text{range degli scarti}/\text{numero delle misure}}$; quindi ad ogni valore α di α corrisponde una probabilità $\psi(\alpha)$ ed una probabilità integrale

$$P(\alpha) = \int_{-\infty}^{-\alpha} \psi(\alpha) d\alpha + \int_{\alpha}^{\infty} \psi(\alpha) d\alpha = 2 \int_{\alpha}^{\infty} \psi(\alpha) d\alpha$$

Si può quindi fissare un criterio quantitativo per non accettare una serie di misure la cui distribuzione degli scarti abbia un α tale che $P(\alpha) < P(\alpha_t)$, con $P(\alpha_t)$ prefissato.

Per il nostro esperimento abbiamo fissato $P(\alpha_t) = 0.15/N$ ($N = \text{numero di misure}$). Con questo taglio tutte le distribuzioni in S₃₅ ed S₃₆ sono risultate accettabili, mentre tre distribuzioni per S₃₇ non lo erano; in tali casi non abbiamo considerato S₃₇ nella suddivisione in canali (vedi Fig. 7).

Riportiamo, solo per comodità d'uso, il tabulato della function PROBAB che abbiamo usato per passare da α alla sua probabilità integrale $P(\alpha)$.

26.GED

ISN

SOURCE STATEMENT

FORTRAN SOURCE LIST

```

0 $IBFTC FUNTION
1      FUNCTION PROBAB(SIGMA)
C      TABULAZIONE DELLA PROBABILITA' INTEGRALE DELLA FUNZIONE DI GAUSS
C      CALCOLO DELLA PROBABILITA' INTEGRALE PER SIGMA DATO
2      DIMENSION P(40)
3      P( 1)=0.0000
4      P( 2)=0.0398
5      P( 3)=0.0793
6      P( 4)=0.1179
7      P( 5)=0.1555
10     P( 6)=0.1915
11     P( 7)=0.2257
12     P( 8)=0.2580
13     P( 9)=0.2881
14     P(10)=0.3159
15     P(11)=0.3413
16     P(12)=0.3643
17     P(13)=0.3849
20     P(14)=0.4032
21     P(15)=0.4192
22     P(16)=0.4332
23     P(17)=0.4452
24     P(18)=0.4554
25     P(19)=0.4641
26     P(20)=0.4713
27     P(21)=0.4772
30     P(22)=0.4821
31     P(23)=0.4861
32     P(24)=0.4893
33     P(25)=0.4918
34     P(26)=0.4938
35     P(27)=0.4953
36     P(28)=0.4965
37     P(29)=0.4974
40     P(30)=0.4981
41     P(31)=0.4987
42     K=ABS(SIGMA)*10.+1.
43     C=ABS(SIGMA)*10.+1.
44     C1=K
45     IF(C1.LE.31.) GO TO 1
50     PRCBAB=0.000000
51     RETURN
52     PRNBAB=2.*{0.500-P(K)*(1.+C-C1)}
53     RETURN
54     END

```

APPENDICE E. -

La SUBROUTINE JOAN, che ci è servita per la rappresentazione grafica degli istogrammi è già in dotazione al calcolatore 7040 dell'ISS, e noi ci siamo limitati ad usarla^(x). Riportiamo qui di seguito il modo con cui essa è richiamata nel programma:

```
*****  
COMMON NIST,BLANK,SEGN,VOCAL,VVMI,VVMA,DELTAA  
COMMON KOUNT,TITLE  
READ 250,NIST,VVMI,VVMA,DELTAA  
250 FORMAT (I3,3F12.6)  
READ 251,BLANK,SEGN,VOCAL  
251 FORMAT (3A1)  
READ 253,(TITLE(M),M=1,12)  
253 FORMAT (12A6)  
*****  
C DURANTE IL CALCOLO MEMORIZZA IST(K), ISTT(K), ECC... CON K=1,60  
*****  
DO 350 K=1,60  
350 KOUNT(K)=IST(K)  
CALL JOAN  
*****  
DO 370 K=1,60  
370 KOUNT(K)=ISTT(K)  
CALL JOAN  
*****  
  
C BLANK,SEGN,VOCAL SONO I CARATTERI DA USARE FUORI,SUL CONTORNO E DENTRO LO  
C ISTOGRAMMA  
C NIST,VVMI,VVMA,DELTAA SONO IL NUMERO DEGLI INTERVALLI DI BASE DELLO  
C ISTOGRAMMA,IL LORO VALORE MINIMO E MASSIMO ED IL LORO PASSO  
C TITLE E' UNA QUALSIASI SCRITTA DI COMMENTO CHE SI VUOLE SULL' ISTOGRAMMA  
C KOUNT E' L'ORDINATA DELL'ISTOGRAMMA (NON RICHIEDE ALCUNA NORMALIZZAZIONE)
```

Riportiamo qui di seguito, solo per comodità d'uso, anche il tabulato della SUBROUTINE PLOTBU che ci è servita per fare i grafici e che è solo leggera modifica di una subroutine già esistente presso la biblioteca del SCN dei LNF scritta dal Dott. M. Buonanni.

3E26.GED	ISN	SOURCE STATEMENT	FORTRAN SOURCE LIST	02/17/67
			<pre>0 \$IBFTC SUDR 1 SUBROUTINE PLOTBU(M,NSYMB,N,V,VMIN,VMAX,IRANGE) 2 DIMENSION A(120),V(30),VMIN(30),VMAX(30),SYMB(30) 3 IF(NSYMB.EQ.1) READ (5,881) (SYMB(I),I=1,N),BLAN 12 DO 1 J=1,120 13 1 A(J)=BLAN 15 DO 3 I=1,N 16 J=1.-119.*(V(I)-VMIN(I))/(VMIN(I)-VMAX(I))+.5 17 IF(J.EQ.0.OR.J.GT.120) GO TO 2 22 A(J)=SYMB(I) 23 GO TO 3 24 2 IRANGE=IRANGE+1 25 3 CONTINUE 27 WRITE(6,880) M,(A(I),I=1,120) 34 RETURN 35 880 FORMAT (I5,1X,120A1) 36 881 FORMAT (28A1) 37 END</pre>	

(x) - Recentemente è stata scritta dal Dr. P. Verri una subroutine di più semplice uso (SUBROUTINE VGISTO - biblioteca del SCN dei LNF - - UG 47): richiede solo di dimensionare una variabile in virgola fissa su 120 posizioni di memoria. Per esempio, se durante il calcolo si memorizzano i valori di IST (K), per ottenere la rappresentazione grafica dell'istogramma bastano i due "statements":
 DIMENSION IST (120)
 CALL VGISTO (IST)

APPENDICE F. -

SUBROUTINE FIT. -

Anche questa subroutine è in parte una modifica del programma scritto da Fronterotta e Rambaldi per il calcolatore 1620 disponibile presso la biblioteca del Servizio Calcoli Numerici dei LNF e descritto in (5). Noi abbiamo aggiunto il calcolo della $P(\chi^2)$, la scelta del grado che dà la miglior $P(\chi^2)$, l'esclusione delle misure il cui scarto supera lo scarto limite (calcolato con la FUNCTION TAGLIO: Appendice B) e la ripetizione del calcolo senza di esse. Si memorizzano inoltre i coefficienti del polinomio che dà la miglior $P(\chi^2)$.

Per l'uso di questa subroutine sono necessarie la "function PCHISQ" e la "function TAGLIO".

Riportiamo qui di seguito il tabulato della subroutine.

ISN	SOURCE STATEMENT	FORTRAN SOURCE LIST	06/20/67
0	SIBFTC FIT		
1	SUBROUTINE FIT(NMIN,NM,M,X,Y,CSI,A,ALPA,PQMN)		
2	DIMENSION X(50),Y(50),CSI(50),PHI(10,50),B(10),A(10),H(10,10)		
3	DIMENSION ALPA(10),F(10,10),FN(50),DFN(50),PQN(10),SC(50),ISC(26)		
4	DO 50 I=1,M		
5	50 CSI(I)=1./(CSI(I)*CSI(I))+1.0E-30		
7	IRIPET=0		
10	ISTAMP=0		
11	N=NMIN		
12	NMC=NM+1		
13	117 P=0.		
14	100 N1=N+1		
15	DO 1 I=1,NMC		
16	A(I)=0.		
17	1 ALPA(I)=0.		
21	DO 2 I=1,M		
22	DO 2 K=1,N1		
23	J=K-1		
24	IF(J)10,10,400		
25	10 PHI(1,I)=1.		
26	GO TO 2		
27	400 PHI(K,I)=X(I)**J		
30	2 CONTINUE		
33	DO 85 L=1,N1		
34	DO 85 K=1,N1		
35	SUM=0.0		
36	DO 4 I=1,M		
37	4 SUM=SUM+PHI(L,I)*PHI(K,I)*CSI(I)		
41	85 H(K,L)=SUM		
44	DO 666 K=1,N1		
45	DO 666 L=1,N1		
46	666 F(K,L)=H(K,L)		
51	DO 314 K=1,N1		
52	COM=F(K,K)		
53	F(K,K)=1.		
54	DO 311 J=1,N1		
55	SUM=F(K,J)/COM		
56	311 F(K,J)=SUM		
60	DO 314 I=1,N1		
61	IF(I-K)312,314,312		
62	312 COM=F(I,K)		
63	F(I,K)=0.0		
64	DO 313 J=1,N1		
65	SUM=F(I,J)-COM*F(K,J)		
66	313 F(I,J)=SUM		
70	314 CONTINUE		
73	DO 5 L=1,N1		
74	SUM=0.0		
75	DO 22 I=1,M		
76	22 SUM=SUM+PHI(L,I)*Y(I)*CSI(I)		
100	5 B(L)=SUM		
102	DO 6 K=1,N1		
103	SUM=0.0		
104	DO 35 L=1,N1		
105	35 SUM=SUM+F(K,L)*B(L)		
107	6 A(K)=SUM		
111	QN=0.0		
112	DO 8 I=1,M		

```

113      SUM=0.0
114      DO 7 K=1,N1
115      7 SUM=SUM+A(K)*PHI(K,I)
117      FN(I)=SUM
120      SC(I)=ABS((FN(I)-Y(I))*SQR(CSI(I)))
121      8 QN=QN*(FN(I)-Y(I))*(FN(I)-Y(I))*CSI(I)
123      MN=M-N-1
124      ZN=MN
125      WN=QN/ZN
126      PQN(N1)=PCHISQ(QN,MN)
127      PQMN=PQN(N1)
130      DO 30 K=1,N1
131      IF(FIK,K))333,333,444
132      333 ALPA(K)=WN*F(K,K)
133      GO TO 30
134      444 ALPA(K)=SQRT(WN*F(K,K))
135      30 CONTINUE
137      DO 555 I=1,M
140      SUM2=0.0
141      DO 34 K=1,N1
142      SUM=0.0
143      DO 33 L=1,N1
144      33 SUM=SUM+F(K,L)*PHI(K,I)*PHI(L,I)
146      34 SUM2=SUM2+SUM
150      IF(SUM2)888,888,999
151      888 DFN(I)=SUM2*WN
152      GO TO 555
153      999 DFN(I)=SQRT(WN*SUM2)
154      555 CONTINUE
156      IF(ISTAMP.GT.1) GO TO 104
161      PRINT 1001,N,M
162      1001 FORMAT (1H1,6HGRADO=I3,5X,11HNUM.MISURE=I4//50X,12HCOEFFICIENTI,8X
     1,15HERR. SUI COEFF.)
163      DO 222 K=1,N1
164      222 PRINT 1004,A(K),ALPA(K),K
166      1004 FORMAT (47X,E16.7,5X,E16.7,5X,I4)
167      PRINT 1005
170      1005 FORMAT (1H0,12X,6HX(I),17X,4HY(I),14X,10HY(I) CALC.,13X,5HDY(I),13
     1X,11HDY(I) CALC.,14X,4HPESQ)
171      DO 1111 I=1,M
172      PSI=1./SQR(CSI(I))
173      1111 PRINT 1000,X(I),Y(I),FN(I),PSI,DFN(I),CSI(I)
175      1000 FORMAT (6(5X,E16.7))
176      PRINT 1003,MN,ZN,PQM
177      1003 FORMAT (1H0,23HNUM. GRADI DI LIBERTA'=I4,5X,7HCHISQ= ,E16.7,5X,E16
     1.7,5X,8HCHISQ= ,E16.7)
200      IF(PQN(N1).LT.P) GO TO 102
203      N=N+1
204      P=PQN(N1)
205      IF(N.LE.NM) GO TO 100
210      N=N-1
211      GO TO 105
212      N=N-1
213      105 IF(IRIPET.GT.1) GO TO 118
216      READ 254,NPART,PROBAB
220      254 FORMAT (I2,F8.4)
221      SCL=TAGLIO(PROBAB,MN,NPART)
222      J=1
223      DO 106 I=1,M
224      IF(SC(I).LT,SCL) GO TO 107
227      GO TO 106
230      107 ISC(J)=I
231      J=J+1
232      106 CONTINUE
234      K=0
235      J=1
236      DO 111 I=1,M
237      IF(I.GE.ISC(J)) GO TO 110
242      112 J=J+K
243      X(I)=X(J)
244      Y(I)=Y(J)
245      CSI(I)=CSI(J)
246      GO TO 111
247      110 K=K+1
250      J=J+1
251      M=M-1
252      NSC=K
253      GO TO 112
254      111 CONTINUE
256      IRIPET=2
257      PRINT 1010,NPART,PROBAB,NSC,N
260      1010 FORMAT (1H1,10HSCARTI DA I2,24H PARTI CON PROBABILITA' F7.4,4H/MIS
     1/5H NUM.13,30H SCARTI CON POLINOMIO DI GRADDE3)
261      IF(NSC.NE.0) GO TO 116
264      118 ISTAMP=2
265      GO TO 100
266      116 N=1
267      GO TO 117
270      104 N=NNIN
271      RETURN
272      END

```